

جغرافیا و توسعه شماره ۲۵ زمستان ۱۳۹۰

وصول مقاله : ۱۳۸۹/۱۱/۱۶

تأیید نهایی : ۱۳۹۰/۳/۲۹

صفحات : ۱۳۷ - ۱۵۸

## اقلیم‌شناسی بارش‌ شمال غرب ایران

دکتر حسین عساکر<sup>۱</sup>، رباب رزمی<sup>۲</sup>

### چکیده

اقلیم‌شناسی بارش را می‌توان رفتار غالب بارش در هر مکان تعریف نمود. یکی از روش‌های تحلیل اقلیم‌شناسی بارش، شناخت رفتار چرخه‌ای بارش است. این مهم از طریق بررسی و وارسی همسازهای مختلف بارش امکان‌پذیر است. در واقع همسازها انواع بیویه‌های نهان دریک سری زمانی را نشان می‌دهند. اهمیت همسازها براساس پراش ویژگی‌های بسامد دریک سری زمانی تعریف می‌شود. در این تحقیق تلاش می‌شود جنبه‌های پنهان بارش در شمال غرب کشور (استان‌های آذربایجان غربی، آذربایجان شرقی، اردبیل و زنجان) آشکار و تحلیل شود. در این راستا از تعداد ۲۶۰ استنگاه همدید، اقلیم‌شناسی و باران‌سنگی طی دوره‌ی آماری ۲۰۰۵ - ۱۹۶۶ استفاده شد. به منظور رفع نقیصه‌های آماری و جبران تفاوت طول دوره‌ی آماری، نقشه‌های ماهانه بارش تولید و عملیات محاسباتی برای حصول مشخصات همسازها بر روی یاخته‌های این نقشه‌ها انجام شد. بارش سالانه‌ی شمال‌غرب کشور از شمال شرق به جنوب غرب افزایش می‌یابد. برخلاف انتظار بیشترین بارندگی در چکاد بلندی‌های این پهنه از کشور رخ نمی‌دهد. علاوه بر این، تغییرات مکانی بارش بسیار زیاد است. براساس روش‌های به کار رفته معلوم شد که دو سامانه همدید - محلی تا بیش از ۹۰ درصد بارش شمال غرب را توجیه می‌کند. کمترین سهم بارش حاصل از سامانه‌های همدید در شمال شرقی (پهنه کم بارش) رخ می‌دهد. بنابراین سهم بارش حاصل از سامانه‌های محلی (بارش همرفتی، کوهستانی، جبهه‌های محلی و ...) در این بخش بیشتر است. در حالی که متناسب با افزایش بارش سالانه، سهم سامانه‌های همدید نیز فزونی می‌یابد. بخش‌های جنوب غربی بیشینه‌ی بارش افزون‌تری از سامانه‌های همدید را دریافت می‌دارد. همچنین زمان وقوع بیشینه‌ی بارش حاصل از سامانه‌های همدید در شمال شرقی در اوایل دسامبر ولی در نیمه‌ی جنوبی در اواخر دسامبر و اوایل ژانویه رخ می‌دهد.

کلیدواژه‌ها: اقلیم‌شناسی، بارش، بارش‌ شمال غرب ایران، همسازها، همساز اول و دوم.

### مقدمه

می‌دانیم که شرایط جوی غالب یک محل در درازمدت را اقلیم گویند (کاویانی و علیجانی، ۱۳۱۰: ۳). چنان که عساکر (۱۳۱۶: ۳-۵) نیز بیان داشته، وابستگی به زمان و مکان را می‌توان از تعریف بالا استنباط نمود. در واقع اقلیم هر محل، رفتار جو در امتداد زمان است. یکی از شرایط

۱- دانشیار اقلیم‌شناسی دانشگاه زنجان (نویسنده مسؤول)

۲- کارشناس ارشد اقلیم‌شناسی دانشگاه زنجان

جوی که اقلیم را شکل می‌دهد و خود نیز تحت تأثیر اقلیم است، عنصر "بارش" می‌باشد. بدین ترتیب مطالعه‌ی رفتار زمانی بارش در هر مکان را می‌توان اقلیم‌شناسی بارش نامید. مطالعه‌ی اقلیم‌شناسی بارش ضمن شناخت پویه و رفتار بارش، امکان برنامه‌ریزی مبتنی بر آن را مهیا می‌سازد. این گونه توجه به بارش به ویژه در نواحی مختلف سرزمین کم‌آبی نظریه ایران که منابع آب آن متکی به بارش و با تقاضای روزافزون جمعیت روبه رشد همراه بوده، از اهمیت ویژه‌ای برخوردار است. یکی از زمینه‌های مطالعاتی و از مشخصات اقلیم‌شناسی بارش در هر ناحیه، پنهان بودن برخی رفتارهای آن است. این رفتارها به وسیله همساز (هارمونیک)<sup>۱</sup>‌ها قابل تعبیر هستند. همسازها حاوی مشخصه‌هایی نظری دارند، زاویه فاز<sup>۲</sup> دوره زمانی<sup>۳</sup>، فراوانی<sup>۴</sup> و آماره‌های اصلی می‌باشند. کشف این مشخصه‌ها یکی از زمینه‌های مطالعاتی اقلیم‌شناسی بارش است. در این تحقیق تلاش می‌شود جنبه‌های پنهان بارش در شمال غرب کشور آشکار و تحلیل شود. بارش شمال غرب کشور به وسیله‌ی مجموعه‌ای از عوامل زمانی و مکانی کنترل می‌شود. از این رو رفتار زمانی- مکانی بارش این پهنه از کشور یکنواخت و همگون نیست. همچنین فقدان مشاهدات اقلیمی کافی چه در مکان (ایستگاه‌ها) و چه در زمان (مشاهدات گم شده، کوتاه بودن طول دوره‌ی آماری، ناهمگونی مشاهدات و...) ارایه واقعیت‌های اقلیمی را با دشواری تؤمن ساخته است. از این‌رو تلاش می‌شود ضمن رדיابی مشخصات نهان بارش، این نقیصه‌ی اطلاعاتی با تکییک تولید و جیر نقشه جبران گردد. بارش یکی از عناصر مهم اقلیمی است. بررسی این عنصر در مقیاس زمان و مکان در معرض توجه اقلیم‌شناسان جهان و ایران بوده است. برای مثال نیو و لی<sup>۵</sup> (۱۹۷۱-۱۲۵: ۲۰۰۱)، بارش جنوب چین را براساس چرخش سامانه‌های جوی- دمای آب دریا و با استفاده از ۱۶۰ ایستگاه، طی دوره‌ی آماری ۱۹۵۱-۲۰۰۷ بررسی نموده و روابط متفاوتی برای بخش‌های شمالی و جنوبی این ناحیه استخراج کرده‌اند. از این گونه مطالعات در نواحی مختلف جهان انجام شده است که به منظور رعایت ایجاز به برخی از تحقیقات سال‌های اخیر اشاره می‌شود. برای مثال توزیع فراوانی بارش در فلسطین اشغالی (بن‌گای<sup>۶</sup> و همکاران، ۱۹۹۱: ۱۹۰-۱۷۷)، تحلیل مکانی بارش ترکیه (سن و حبیب<sup>۷</sup>، ۲۰۰۰: ۱۱-۹۶)، کشف تغییرپذیری فصلی بارش در ایالات متحده (یو و چو<sup>۸</sup>، ۲۰۰۱: ۶۶-۵۱)،

1-Harmonic

2-Amplitude

3-Phase Angle

4-Period

5-Frequency

6-Niu and Li

7-Ben-Gai

8-Sen and Habib

9-Ye and Cho

تحلیل روند بارش (گمر<sup>۱</sup> و همکاران، ۲۰۰۴: ۳۹-۴۵) و روند شاخص‌های بارش در چین (کیان و لین<sup>۲</sup>: ۲۰۰۵: ۱۹۳-۲۰۷)، تأثیر نواحی شهری بر رژیم بارش نواحی خشک (شفرد<sup>۳</sup>: ۲۰۰۶: ۶۲۱-۶۰۷)، رابطه‌ی تعداد روزهای بارانی و میزان بارش در جابه‌جایی فصلی نیجریه (اوکیونل<sup>۴</sup>: ۲۰۰۷: ۱۹۳-۲۰۱)، تحلیل روند فصلی عناصر عمده اقلیمی از جمله بارش در دلتای یانگ تسه (چن<sup>۵</sup> و همکاران، ۲۰۰۶: ۱۱-۲۳)، تحلیل مکانی بارش‌های اروگرافیک (کروچت<sup>۶</sup> و همکاران، ۲۰۰۷: ۱۳۰۶-۱۲۸۵) از مهم‌ترین مطالعات اقلیم‌شناسی بارش است. یکی از زمینه‌های اقلیم‌شناسی بارش استخراج همسازهای بارش و تعیین چرخه‌های بارشی است. این‌گونه روش‌ها در پژوهش حاضر مورد توجه است. به کارگیری این تکنیک برای بارش ایالات متعدد (کرکایلا و حمید<sup>۷</sup>: ۱۹۱۹، ۱۴۶۳-۱۴۷۵)، ترکیه (کادی‌اغلو<sup>۸</sup> و همکاران، ۱۹۹۹: ۱۷۲۸-۱۷۱۷)، اردن (تارونه (تارونه و کادی‌اغلو<sup>۹</sup>: ۲۰۰۳: ۱۳۶-۱۲۳) و یونان (لیوادا و آسیماکوپولوس<sup>۱۰</sup>: ۱۶۱-۱۵۵) انجام شده و عموماً براین امر تأکید شده که تنها دو همساز، تغییرات سالانه بارش را توجیه می‌کند. بارش ایران نیز در مقیاس کلی و ناحیه‌ای از ابعاد متفاوتی مورد توجه اقلیم‌شناسان قرار گرفته است. برای مثال برخی اقلیم‌شناسان، رابطه‌ی بارش با پدیده‌های مختلفی نظیر سامانه‌های همدید دریای سیاه (مفیدی، ۱۳۱۱)، دریای سرخ (مفیدی، ۱۳۱۳: ۹۳-۷۱)، کلفهای خورشیدی (جهانبخش و عدالت‌دوست، ۱۳۱۷: ۲۴-۳)، سامانه پرشمار آзор (کاویانی و همکاران، ۱۳۱۷: ۱۲-۱۲۵) را در معرض توجه قرار داده‌اند. برخی محققان رژیم بارش (کاویانی، ۱۳۷۲: ۱۲-۱۳۱۷)، توزیع زمانی بارش (غیور و مسعودیان، ۱۳۷۸: ۲۸-۱۹)، عساکر، ۱۳۱۶: ۱۶۴-۱۶۵)، تحلیل روابط مکانی (عساکر، ۱۳۱۴: ۲۲۱-۲۱۳)، رضیئی و عزیزی، ۱۳۱۷: ۱۰۱-۹۳) و به کارگیری زمین آمار (رحیمی‌بندرآبادی و ثقفیان، ۱۳۸۶: ۳۸-۲۶؛ کاویانی و مشکانی، ۱۳۱۶: ۴۰-۳۱ و عساکر، ۱۳۱۷: ۴۲-۲۵)، روند بارش (غیور و مسعودیان، ۱۳۷۵: ۲۶-۲۶)، عساکر، ۱۳۱۶: ۱۶۴-۱۴۵)، ناحیه‌بندی بارش ایران (مسعودیان، ۱۳۱۱: ۹۲-۷۹)، تعیین فصول بارشی و طبقه‌بندی آنها (مسعودیان و عطایی، ۱۳۱۴: ۱-۱۲) در سرتاسر ایران را مورد بررسی قرار داده‌اند. در مقیاس ناحیه‌ای نیز الگوهای همدید بارش شدید جنوب غرب ایران (شکری، ۱۳۷۵)، مکانیزم‌های مولد بارش جنوب شرق ایران (نجارسلیقه، ۱۳۱۵: ۱۳-۱)، اثر نوسانات شمالی

1-Gemmer

2-Qian and Lin

3-Shepherd

4-Odekunle

5-Chen

6-Crochet

7-Kirkyla and Hameed

8-Kadioglu

9-Tarawneh and Kadioglu

10-Livada and Assimakopoulos

<sup>۱</sup> بر بارش‌های خزری (خوش‌احلاق و همکاران، ۱۳۸۷: ۵۷-۷۰)، پیش‌بینی بارش فصلی خراسان بزرگ (فللاح قهرودی و همکاران، ۱۳۸۷: ۱۲۱-۱۳۹)، تداوم بارش‌های خاص در خراسان (حاتمی‌بزدی و همکاران، ۱۳۸۴: ۵۴-۶۴)، رفتار زمانی (عساکر، ۱۳۸۴: ۷۵-۹۰) و زمانی- مکانی (عساکر، ۱۳۸۴: ۹۱-۱۱۶) بارش اصفهان و... بررسی شده است.

بارش شمال غرب و بعضاً به همراه غرب کشور نیز مورد توجه برخی اندیشمندان ایران زمین بوده است. برای مثال ذوالفارقی (۱۳۷۷: ۲۲-۷) بارش‌های بهاره غرب کشور را تحلیل کرده است. جهانبخش و ذوالفارقی (۱۳۸۰: ۲۵۱-۲۳۴)، الگوهای همدید مولد بارش روزانه غرب ایران را بررسی نمودند. حیدری (۱۳۸۴: ۹۲-۷۷)، بر اساس تحلیل‌های چندمتغیره آماری و با استفاده از ۲۶ ایستگاه با ۱۴ سال طول دوره‌ی آماری ۳ گروه اصلی و ۷ گروه فرعی بارشی در غرب و شمال غرب کشور تشخیص داد. منطقه‌بندی رژیم بارشی غرب و شمال غرب کشور نیز (رضیئی و عزیزی، ۱۳۸۶: ۶۵-۶۲) برای دوره ۱۹۹۹-۱۹۶۵ بررسی و با استفاده از ۱۰ فراسنج اقلیمی در ۱۷۰ ایستگاه کشور پنج منطقه اقلیمی تشخیص داده شد. همچنین بارش این ناحیه به لحاظ عوامل مکانی کنترل‌کننده نظیر طول، عرض جغرافیایی و ارتفاع به‌وسیله‌ی رضیئی و عزیزی (۱۳۸۷: ۹۳-۱۰۱) مورد بررسی قرار گرفته است.

از میان پژوهش‌های انجام شده، که با استفاده از تکنیک تحلیل همسازها، بارش را در معرض تحلیل قرار داده‌اند، می‌توان به انصاری بصیر (۱۳۸۶) اشاره نمود. وی با استفاده از ۴۲ ایستگاه همدید در فاصله‌ی سال‌های ۱۹۵۱ تا ۲۰۰۰ همسازهای بارش ایران را به روش نقطه‌ای استخراج نموده و با استفاده از روش‌های زمین آمار نقشه‌های مربوط را تهیه نمود. نتایج وی نشان می‌دهد که همساز اول تا ۸۰ درصد و همساز دوم تا ۱۰ درصد پراش بارش‌های کشور را توجیه می‌کند. همچنین همسازهای دیگر بجز برای جنوب و جنوب‌شرق کشور فاقد معنای آماری است.

مقاله‌ی حاضر با استفاده از تکنیک تحلیل همسازها، ضمن بهره‌گیری از مشاهدات ایستگاهی بیشتر، با استمداد از تکنیک‌های زمین آماری، اقلیم‌شناسی بارش را در مقیاس ناحیه‌ای مورد تحلیل قرار خواهد داد. از آنجا که با استفاده از تکنیک مورد استفاده در این تحقیق برخی رفتارهای نهان بارش آشکار می‌شود، یافته‌های تحقیق می‌تواند در مدل‌سازی بارش لحاظ شده، امکان بازآفرینی، برآورد و پیش‌بینی بارش با قطعیت بیشتری مهیا گردیده، برنامه‌ریزی و مدیریت مبتنی بر منابع آب حاصل از بارش با اتقان بیشتری میسر خواهد بود.

### داده‌ها

در این نوشتار منظور از شمال غرب کشور، پهنه‌ای است که استان‌های آذربایجان شرقی، آذربایجان غربی، اردبیل و زنجان را در بر می‌گیرد. این بخش از کشور ۱۲۶۵۴۴/۴ کیلومتر مربع مساحت و ۷/۲ درصد از کل مساحت کشور را به خود اختصاص داده است. محدوده‌ی مورد مطالعه در قسمت شمال با کشورهای آذربایجان و ارمنستان، در غرب با کشورهای ترکیه و عراق، از سمت جنوب با استان‌های همدان و کردستان، در جنوب شرق با قزوین و از سمت شرق با استان گیلان دارای مرز مشترک است. نقشه‌ی شماره‌ی (۱) موقعیت شمال غرب را نشان می‌دهد.



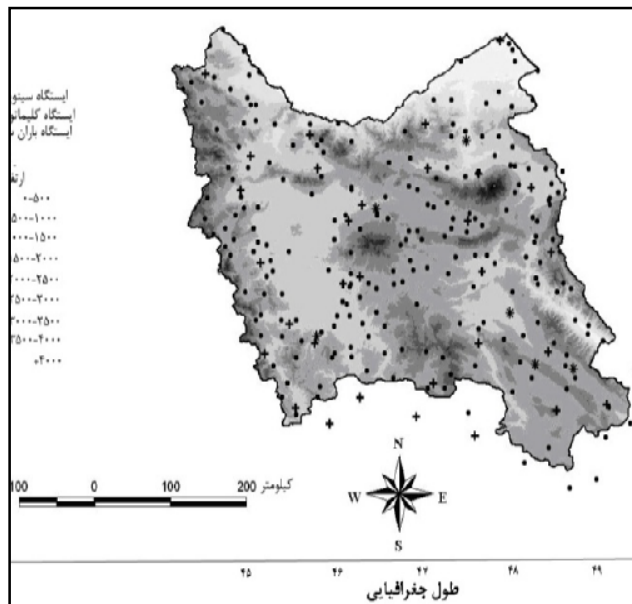
شکل ۱: موقعیت پهنه‌ی شمال غرب ایران

مأخذ: اطلس گیاتاشناسی

ارتفاعات و ناهمواری‌های این ناحیه از کشور به دو دسته کوههای نسبتاً کم ارتفاع و کوههای مرتفع تقسیم می‌شود. در نواحی مرزی ایران- ترکیه، شمال منطقه آذربایجان و حاشیه‌ی جنوبی و نیز مرکز، کوههای مرتفع به وفور دیده می‌شود.

در مجاورت این ناهمواری‌ها، سرزمین‌های هموار و پست نظیر خوی، مرند، اردبیل و جلگه‌ی مغان دیده می‌شود. همچنین جلگه‌ی اطراف دریاچه ارومیه از سرزمین‌های هموار این بخش از کشور است. شکل ۲ علاوه بر توزیع ارتفاعی منطقه، ایستگاههای مورد استفاده در این مطالعه

را نشان می‌دهد. دیده می‌شود که در بخش‌های پرارتفاع‌تر هیچ ایستگاه اندازه‌گیری بارش وجود ندارد. همچنین در نواحی پست نیز تراکم ایستگاه کم می‌باشد. عموماً کوهپایه‌ها از تراکم ایستگاهی بیشتری برخوردارند. قدیمی‌ترین ایستگاه‌های شمال‌غرب، ایستگاه‌های تبریز و ارومیه هستند که در سال ۱۹۵۱ تأسیس شده و طولانی‌ترین دوره‌ی آماری را دارند. کوتاه‌ترین طول دوره‌ی آماری، مربوط به بسیاری از ایستگاه‌های باران‌سنجدی است که از سال ۱۹۹۹ شروع می‌شود. چنان‌که در شکل ۲ دیده می‌شود، ایستگاه‌های مورد استفاده در سرتاسر منطقه پراکنده شده‌اند. به منظور انجام این تحقیق مجموعاً ۲۶۰ ایستگاه همدید (۲۷ ایستگاه)، اقلیم‌شناسی (۶ ایستگاه) و باران‌سنجدی (۲۱۵ ایستگاه داخل پهنه ۱۲ ایستگاه خارج از پهنه شامل ۸ ایستگاه‌های باران‌سنجدی و ۴ ایستگاه همدید) مورد تحلیل قرار گرفته است. این داده‌ها از دومنبع حاصل شده‌اند: منبع نخست ایستگاه‌های همدید، اقلیم‌شناسی و باران‌سنجدی سازمان هواشناسی کشور و دیگری ایستگاه‌های باران‌سنجدی وزارت نیرو می‌باشد. از آن‌جا که نمونه-برداری وزارت نیرو در مقیاس ماه‌های شمسی انجام می‌شود، از آمار روزانه‌ی آن بهره گرفته شد تا به ماه میلادی تبدیل و مورد بهره‌برداری قرار گیرد. به دلیل کم بودن تعداد ایستگاه‌های منطقه در سال‌های آغازین دوره (۱۹۵۱-۱۹۶۵) و در سال ۲۰۰۶ آمار این سال‌ها مورد استفاده قرار نگرفت. در نهایت آمار ماهانه مربوط به دوره‌ی آماری ۱۹۶۶-۲۰۰۵ (۴۰ سال) برای انجام این تحقیق انتخاب گردید.



شکل ۲: توزیع ارتفاعی و پراکندگی ایستگاه‌های مورد بررسی  
مأخذ: نگارنده‌گان

## روش‌ها

هدف از این پژوهش ارایه نواحی با نظام بارش مشابه و آشکارسازی برخی رفتارهای نهان بارش با استفاده از تکنیک تحلیل همسازهاست. تحلیل همسازها روشی عام برای مطالعه تغییرات دوره‌ای است که بر پایه‌ی بنیادهای ریاضی بنا نهاده شده است. در این رویه رفتار تناوبی یکسری زمانی به‌وسیله‌ی توابع مثلثاتی و با مؤلفه‌های سینوسی توصیف می‌شود. روش تحلیل همسازها روشی بسیار کارآ و مفید برای توصیف شاخص‌های نهان و الگوهای بارش سالانه (لیواد<sup>۱</sup> و آسیماکوپولوس، ۲۰۰۱: ۴۵-۵۵)، تحلیل گستره جغرافیایی رژیم‌های بارش و نمایش مرز آنها (کرکایلا و حمید، ۱۹۱۹: ۱۴۷۵-۱۴۶۳)، شناسایی فصول بارش (هسو و والا<sup>۲</sup> ۱۹۷۶: ۱۰۱-۱۰۹) و تحلیل تغییرات مکانی آن (هاستنرا<sup>۳</sup> ۱۹۶۱: ۹۴-۱۱) به شمار می‌آید. به منظور تحلیل همسازها، تعیین فراسنج‌های مشخص‌کننده بسامدها ضروری است. در این راستا خواص عناصر اقلیمی نظیر نوسان یک موج سینوسی و برحسب دامنه ( $A$ )، زاویه فاز ( $\Phi$ ) دوره‌ی زمانی ( $t$ ) بیان و برحسب درصد پراش آن‌ها تفسیر می‌شود. در این حالت سری زمانی ( $x_t$ ) به طول  $n$  ( $\{x_t\}_{t=1}^n$ ) به صورت مؤلفه‌های سینوسی و به فرم زیر نوشته می‌شود (وایکس<sup>۴</sup>، ۲۰۰۰: ۳۷۸):

$$x_t = \bar{x} + A_1 \sin\left(\frac{2\pi t}{T} + \Phi_1\right) + A_2 \sin\left(\frac{4\pi t}{T} + \Phi_2\right) + \dots + A_n \sin\left(\frac{2n\pi t}{T} + \Phi_n\right) \quad (1)$$

در رابطه بالا  $\bar{x}$  میانگین حسابی سری زمانی و جملات دیگر به ترتیب همسازهای اول، دوم... و  $n$  از دوره  $T$  (برای مطالعات ماهانه برابر ۱۲) را نشان می‌دهد. معادله (۱) را می‌توان به صورت یک مدل فوریه با مؤلفه‌های سینوسی-کسینوسی زیر بازنویسی و تجزیه نمود (تارونه و کادی‌اغلو<sup>۵</sup> ۱۹۹۹: ۱۲۶ و کادی‌اغلو و همکاران، ۱۹۷۲: ۲۰۰۳):

$$x_t = \bar{x} + \sum_{i=1}^q (a_i \cos \frac{2\pi i t}{T} + b_i \sin \frac{2\pi i t}{T}) \quad (2)$$

در این رابطه ( $q=n/2$ ) است. برای مثال در یک سری ماهانه، شش همساز مورد استفاده قرار می‌گیرند (لیواد<sup>۱</sup> و آسیماکوپولوس، ۲۰۰۱: ۵۰). توضیح این که در یک مدل فوریه مؤلفه‌های

1-Livada

2-Kirkyla and Hameed

3-Hsu and Wallace

4-Hastenrath

5-Wilkes

6-Tarawneh and Kadioglu

سینوسی و کسینوسی، همسازهایی هستند که در شکل‌گیری رفتار سری تناوبی مؤثرند. تعداد این همسازها (تعداد چرخه در طول دوره) حداقل نصف طول دوره است. چرا که رفتار نوسانی حداقل از دو مؤلفه (سینوسی و کسینوسی) تشکیل شده است (غیور و عساکره، ۱۳۱۴: ۹۹-۱۳). همچنین در رابطه‌ی فوق<sub>i</sub> و <sub>b<sub>i</sub></sub>، ضرایب  $a_i$  امین همساز و با استفاده از بارش ماهانه ( $x_t$ )  $t$  امین ماه از  $n$  مشاهده و به شکل زیر به دست می‌آیند (بلومفیلد<sup>۱</sup>: ۲۰۰۰: ۲۰):

(۳)

$$\begin{aligned} a_i &= \frac{2}{n} \sum_{t=1}^n x_t \cos \frac{2\pi it}{12} \\ b_i &= \frac{2}{n} \sum_{t=1}^n x_t \sin \frac{2\pi it}{12} \end{aligned}$$

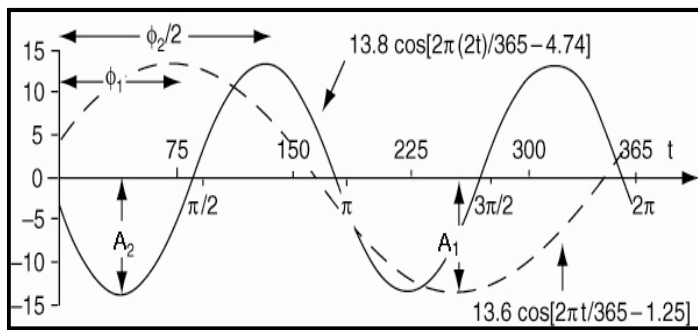
در ردیابی همسازهای سالانه بر اساس میانگین ماهانه (دوره‌ی ۱۲ ماهه) شش همساز ( $\frac{1}{12}, \frac{2}{12}, \frac{3}{12}, \frac{4}{12}, \frac{5}{12}, \frac{6}{12}$ ) به دست خواهد آمد. در عمل، تعداد محدودی همساز برای توجیه پراش نهفته و نیز بیان شرایط غالب در مشاهدات بارش کفايت می‌کنند. در بیشتر مطالعات انجام شده، دو همساز اول مشارکت بیشتری در تغییرپذیری نشان می‌دهند.

در یک سری زمانی ماهانه منحنی سینوسی همساز اول گویای یک چرخه در سال یا چرخه یک‌ساله ( $\frac{1}{12}$ ) است. به عبارت دیگر نقاطی که منحنی بارش آنها تنها یک چرخه در سال دارند، بیشترین دامنه را در مقایسه با همسازهای دیگر داشته و منحنی سینوسی حاصل از همساز اول، با داده‌ها برازش بهتری خواهد داشت. هر چه این همساز بزرگتر باشد افت و خیز سالانه و سامانه‌های مولد آن منظم‌ترند. دومین همساز نیز رژیم نیمسالی<sup>۲</sup> را با فراوانی  $\frac{2}{12}$  نمایش می‌دهد که به دلیل تغییرات و دامنه افزون‌تر همساز اول عموماً در منحنی بارش قابل مشاهده نیست. از این رو عمدتاً به صورت نهفته در سری زمانی قابل مشاهده‌اند. این چرخه از فراوانی بیشتری نسبت به همساز اول برخوردار بوده و گویای اثر شرایط نامنظم در میزان و رژیم بارش و حاکمیت افزون‌تر بارش‌هایی نظیر بارش اورگرافیک است. با افزایش سهم این همساز از اهمیت سهم همساز اول کاسته می‌شود (کادی‌اگلو و همکاران ۱۹۹۹: ۱۷۲۶). در این صورت رژیم نیمسالی بارش قابل استنباط است. بنابراین درنواحی با بارش‌های همرفتی و یا جبهه‌های محلی، سهم همساز اول کمتر از سهم همساز دوم خواهد بود. همساز سوم دفعات بیشتری از

1-Bloomfield

2-Semi-Annual

تغییرات بارش سالانه را نشان می‌دهد و گویای بارش میان سالانه<sup>۱</sup> (چهار ماهه فصلی) و نمایه‌ای از تعدد فصول بارشی است (لیوادا، ۲۰۰۱: ۴۹). برخی اجزای معادله (۱) و ویژگی‌های دو همساز اول را می‌توان در شکل ۳ مشاهده نمود. در این شکل  $\Phi_2 = 272^\circ = 1.51\pi$ ،  $A_2 = 13.8$ ،  $\Phi_1 = 72^\circ = 0.4\pi$  و  $A_1 = 13.6$  است.



شکل ۳: همساز اول (خط چین) و دوم (خط متمدد) یک چرخه سالانه  
مأخذ: وایکس<sup>۲</sup> ۲۰۰۶: ۳۱

محور افقی هم بر حسب رادیان و هم بر حسب روز ترسیم شده است. به منظور دستیابی به نقش همسازها، برآورده برخی فراسنجهای مرتبط ضروری است. دامنه ( $A$ )، زاویه فاز ( $\Phi$ )، زمان وقوع بیشینه( $t$ ) و پراش( $V$ ) همساز  $i$  ام برای معادله (۱) از  $a_i$  و  $b_i$  به ترتیب زیر حاصل می‌شود:

$$A_i = \sqrt{a_i^2 + b_i^2} \quad (4)$$

$$\Phi_i = \text{Arc tan}\left(\frac{a_i}{b_i}\right) \quad (5)$$

$$t = \left(\frac{\pi}{2} - \Phi_n\right) \frac{T}{2\pi n} = \frac{T}{2\pi i} \Phi_i \quad (6)$$

$$V_i = \frac{A_i^2}{2} \quad (7)$$

دامنه‌ی ( $A$ ) برای نشان دادن بیشینه‌ی تغییرات ماهانه همساز است. میزان دامنه‌ی همساز نخست، نشان‌دهنده‌ی تغییر (نوسان) سالانه بارش است (کادی‌غلو و همکاران، ۱۹۹۹: ۱۷۲۵). زاویه‌ی فاز ( $\Phi$ ) برای هر همساز، فاصله‌ی زاویه‌ای است و به صورت رادیان در واحد زمان بیان می‌شود (وایکس ۲۰۰۰: ۳۷۴). فاصله‌ی زاویه‌ای، اوج سری زمانی نسبت به ابتدای محور زمان (۸) است. ابتدای سال ( $x = 0^\circ$ ) در ۱۵ دسامبر و برای هر ماه  $30^\circ$  درجه در نظر گرفته می‌شود.

مثلاً زاویه فاز ۳۰ درجه برای همساز اول به ۱۵ ژانویه اشاره دارد. بنابراین منحنی هم آهنگ<sup>۱</sup> در یک نقشه گویای همزمانی وقوع بیشینه برای همسازهاست. این شاخص می‌تواند رژیم بارش و مرزهای اقلیم بارشی را نشان دهد. برای ارایه‌ی مشخصه‌ای ملموس از زمان رخداد بیشینه، جایگذاری زمان ( $t$ ) به جای زاویه فاز ( $\Phi$ ) هر همساز مناسب‌تر است. این شاخص اگرچه شاخص دقیقی نیست اما رویه‌ای ارزشمند برای مقایسه بهشمار می‌رود. برای مثال تفاوت مکانی مقادیر  $t$  گویای عدم همزمانی<sup>۲</sup> اوج یک همساز است. در جدول زیر برخی مقادیر تاریخ وقوع ( $t$ ) نشان داده شده است (لیوادا و آسیماکوپولوس، ۲۰۰۱: ۴۹).

جدول ۱: برخی زمان‌های اوج ( $t$ ) و تاریخ متناظر با آن‌ها

زمان ( $t$ )	-۱/۵	-۱	-۰/۵	۰	-۰/۵	-۱	۰/۵	۱	۱/۵
تاریخ	نومبر	اول نومبر	۱۵ نوامبر	دسامبر	۱۵ دسامبر	۱ دسامبر	۱۵ اول دسامبر	۱۵ ژانویه	اول ژانویه

مأخذ: لیوادا و آسیماکوپولوس، ۲۰۰۱: ۴۹

پراش هر همساز میزان نقش هر همساز در تغییرپذیری یک سری زمانی را نشان می‌دهد. سهم هر همساز در پراش به وسیله‌ی نسبت پراش آن همساز به مجموع پراش ۶ همساز دیگر سنجیده می‌شود. نسبت نزدیک به واحد بیان‌گر سهم افزون‌تر همسازها در بیشتر یا تمامی تغییرات است. درصد پراش هر همساز بهصورت زیر قابل برآورد است (لیوادا و آسیماکوپولوس، ۲۰۰۱: ۴۹).

$$V_i \% = \frac{V_i}{\sum_{i=1}^6 V_i} \times 100 \quad (8)$$

هر چند مطالب بالا، برای داده‌ها و مشاهدات نقطه‌ای صادق است اما تمامی روش‌های ارایه شده، بر پهنه‌ها قابل تعمیم است. در این پژوهش تلاش می‌شود که عملیات محاسباتی به جای نقطه بر پهنه موردن بررسی انجام شود. توضیح این که به دلیل تفاوت طول دوره‌ی آماری ایستگاه‌های اندازه‌گیری بارش و به منظور استفاده از بیشینه آمار موجود، داده‌های نقطه‌ای بر اساس روش‌های معتبر به داده‌های پهنه‌ای (نقشه) تبدیل شد. به منظور تهیه نقشه‌های هم بارش، بر اساس آزمون‌های معتبر نظری تکنیک ارزیابی متقطع<sup>۳</sup>، بررسی میزان خطای برآورد و

1-Isarithm

2-Isochrones

3-Cross-Validation

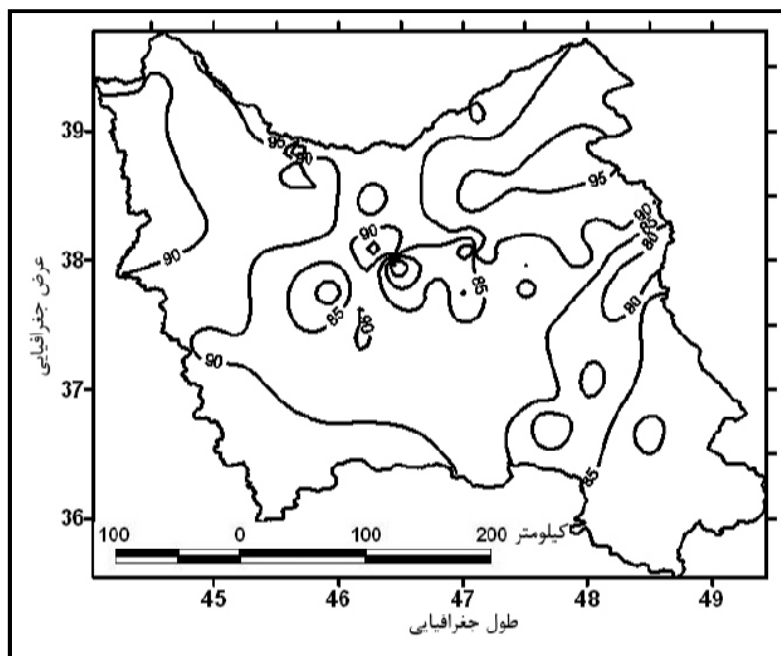
درصد آن و نیز انحراف استاندارد نقشه‌ها و با استفاده از تکنیک‌های زمین‌آماری، بهترین روش میان‌یابی بارش شمال غرب ایران، روش کریگینگ ساده با ابعاد یاخته‌ای حدود  $5 \times 5$  کیلومتر تشخیص داده شد. در این روش برآوردهای مقادیر به وسیله‌ی مجموع حاصل ضرب ضرایب وزنی در مقادیر مشاهده‌ای نقاط مجاور برآورد می‌شود. به طوری که پراش خطا کمینه شود (عساکر، ۱۳۱۷: ۲۶). علاوه بر این، به منظور افزودن دقت میان‌یابی در نقشه‌های تولید شده، ۱۲ ایستگاه (۸ ایستگاه باران‌سنگی و ۴ ایستگاه همدید) با شرایط مناسب از خارج استان نیز اختیار گردید (شکل ۲). جهت انجام تحلیل، ابتدا با استفاده از نرم‌افزار "Surfer"<sup>۱</sup>، ۴۸۰ نقشه‌ی ماهانه‌ی بارش تولید شد. سپس یاخته‌های خارج از محدوده‌ی مورد مطالعه حذف و تعداد ۵۳۷۴ یاخته باقی ماند. پس از تهیه‌ی نقشه‌ها، یک پایگاه داده، حاصل از تبدیل یاخته‌های نقشه‌ها به داده، فراهم شد. ماتریس به دست آمده با آرایش T دارای ۴۸۰ ستون (ماه‌ها) و ۵۳۷۴ ردیف (یاخته‌ها) می‌باشد. کلیه عملیات محاسباتی و تحلیل همسازها با استفاده از نرم‌افزار "Matlab"<sup>۲</sup> بر روی ماتریس یاخته‌ها انجام شد. در نهایت یافته‌های حاصل، مجددأً به نقشه تبدیل و تحلیل گردید. در شمال غرب ایران جمع دو همساز حدود ۷۰ تا بیش از ۹۶ درصد از تغییرات ماه به ماه بارش را توجیه می‌کند. شکل ۴ نشان می‌دهد که دو همساز اول بیش از ۹۰ درصد از کل پراش مساحت قابل توجهی از شمال غرب را توضیح می‌دهد. بیشترین پراش توجیه شده با این دو همساز در شمال شرقی و جنوب غربی و کمترین مقدار آن در مرکز (بین بزغوش- سهند) می‌باشد. بنابراین به نظر می‌رسد در ناحیه مرکزی، سه همساز سوم نیز قابل توجه باشد. در واقع انتظار می‌رود بارش‌های تابستانه نیز در این بخش رخ دهد.

### بحث

#### - بارش سالانه

شکل ۵ نقشه‌ی توزیع مکانی بارش سالانه شمال غرب ایران را نشان می‌دهد. بارش سالانه با میانگین  $360/9$ ، بین حدود ۲۰۰ (شمال شرق ناحیه در جلگه‌ی مغان) تا حدود ۸۰۰ میلی‌متر (جنوب غرب ناحیه) رخ می‌دهد. ضریب تغییرات مکانی بارش حدود  $24/1$  درصد است. بنابراین نواحی پرباران تا حدود چهار برابر نواحی کم باران، بارش دریافت می‌دارند. همچنین وسعت پهنه‌ی کم‌باران بسیار بیشتر از پهنه‌ی پرباران است. برای مثال  $58/8$  درصد شمال غرب کشور، بارش کمتر از میانگین دریافت می‌دارند.

1-Surfer/Win  
2-Matlab



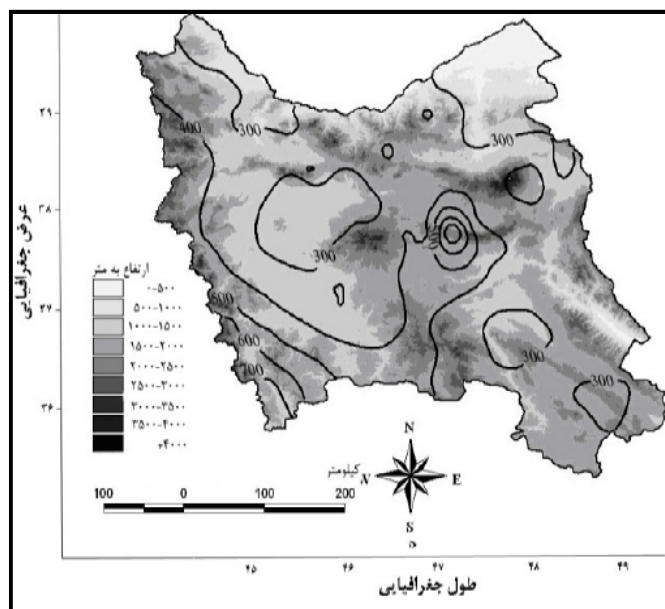
شکل ۶: توزیع مکانی سهم دو همساز اول بارش در شمال غرب کشور

مأخذ: نگارندگان

به لحاظ توزیع مکانی، هرچند روابط بارش با عوامل مکانی معنی دار است اما روابط قوی و آشکاری وجود ندارد. برای مثال پر باران ترین هسته‌های بارش این ناحیه در کوهستان بزغوش و سبلان و نیز در امتداد دامنه‌های شرق کوههای غربی-جنوب غربی است. ولی هسته‌های بیشینه بارش با چکاد کوهها منطبق نیست. شاید این امر به دلیل فقدان ایستگاه‌های اندازه‌گیری بارش در ارتفاعات بالاتر از ۲۲۲۵ متر (ایستگاه باران‌سنگی "دلزی بزرگ" در آذربایجان غربی) باشد. همچنین کمینه بارش در نواحی کم ارتفاع دیده می‌شود. با این وصف رابطه‌ی آماری بارش با طول جغرافیایی، عرض جغرافیایی و ارتفاع به ترتیب  $-0.272$ ،  $-0.313$  و  $-0.287$  می‌باشد. علاوه بر این همبستگی چند متغیره بارش و عوامل مکانی نیز،  $0.517$  برآورد شده است. یعنی تنها حدود ۲۷ درصد بارش شمال غرب با این سه متغیر مکانی توجیه می‌شود.

پراش همساز اول بین حدود ۹۵ تا ۲۰ درصد تغییرات ماه به ماه بارش منطقه را توضیح می‌دهد. مقدار پراش توضیح داده شده با این همساز از شمال شرق به سمت جنوب غرب

افزایش می‌یابد. از این رو همارزش‌های ارایه شده در نقشه، جهتی تقریباً اریب (شمال غرب-جنوب‌شرقی) دارند. با این وصف بعضی هسته‌های ناهمگون این یکنواختی را برهم می‌زنند. این هسته‌ها و نیز کمینه‌های پراش با نواحی پست شمال‌شرق- شمالی به ویژه جلگه مغان منطبق می‌باشند. موقعیت این بخش موجب گردیده که سهم بارش‌های حاصل از سامانه‌های بزرگ مقیاس از کل بارش کمتر باشد. بدین دلیل این بخش نسبت به بقیه‌ی نقاط بارش کمتری (حدود ۲۰۰ میلی‌متر) دریافت می‌دارد (به شکل ۵ نگاه کنید).



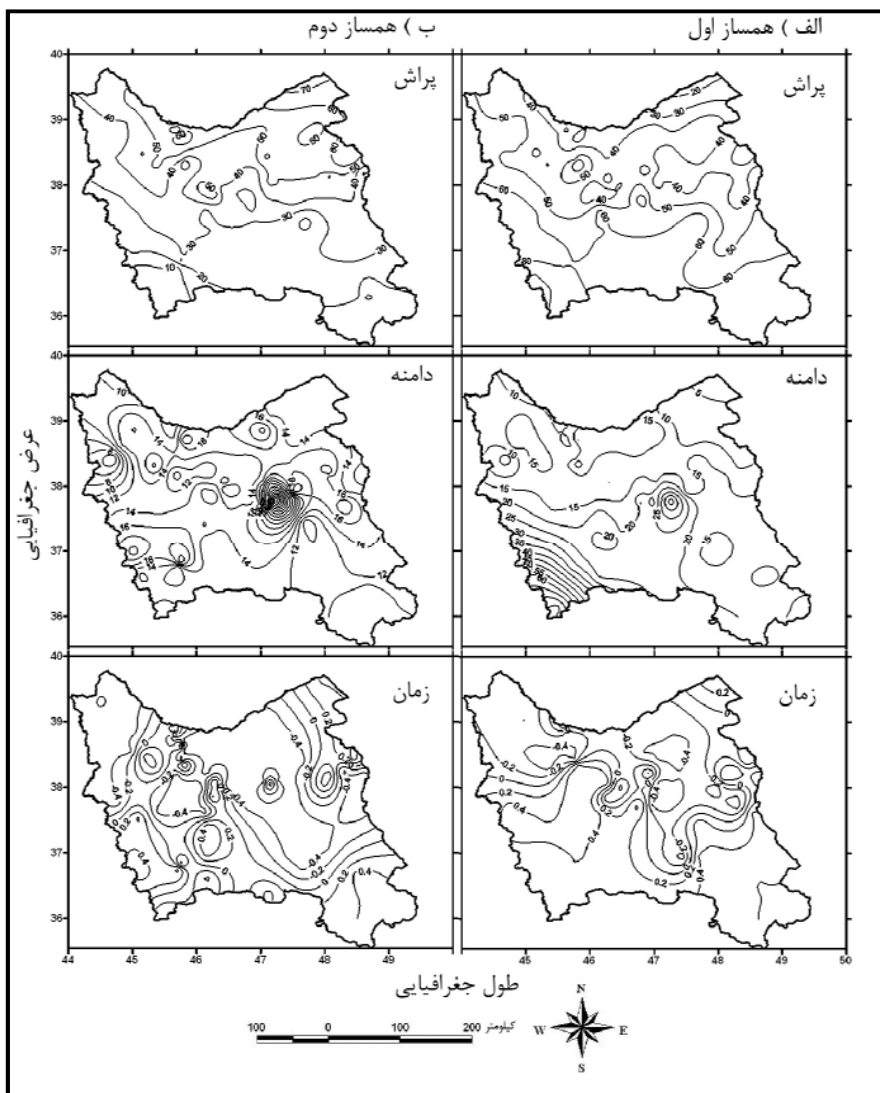
شکل ۵: توزیع مکانی بارش منطقه‌ی شمال غرب کشور تیرگی زمینه‌ی نقشه‌گویای طیف ارتفاعی پهنه است.  
مأخذ: نگارندگان

#### - تغییرات بارش سالانه

همساز اول تغییرات بارش را طی دوره‌های سالانه (با یک نقطه اوج) نشان می‌دهد. شکل ۶ الف سه مشخصه (پراش، دامنه و زمان) این همساز است. پراش همساز اول تغییرات ماه به ماه توضیح داده شده توسط همساز اول را ارایه می‌دهد. این مقادیر بر اساس فرمول ۸ محاسبه و به درصد نمایش داده شده است. پراش همساز اول بین حدود ۲۰ تا ۹۵ درصد تغییرات ماه به ماه بارش منطقه را توضیح می‌دهد. مقدار پراش توضیح داده شده با این همساز از شمال شرق به سمت جنوب غرب کاهش می‌یابد. از این رو هم ارزش‌های ارایه شده در نقشه، جهتی تقریباً

أُریب (شمال‌غرب-جنوب‌شرقی) دارند. با این وصف بعضاً هسته‌های ناهمگون این یکنواختی را برهم می‌زند. این هسته‌ها و نیز کمینه‌های پراش با نواحی پست شمال‌شرق-شمالی به ویژه جلگه‌ی مغان منطبق می‌باشند. موقعیت این بخش موجب گردیده که سهم بارش‌های حاصل از سامانه‌های بزرگ مقیاس از کل بارش کمتر باشد. بدین دلیل این بخش نسبت به بقیه‌ی نقاط بارش کمتری (حدود ۲۰۰ میلی‌متر) دریافت می‌دارد (به شکل ۵ نگاه کنید). دیده می‌شود که نواحی جنوب غربی-غربی از بیشترین سهم همساز اول برخوردارند. بزرگ بودن سهم این همساز در این بخش موجب کاهش سهم همسازهای دیگر می‌شود که خود بیان‌گر غلبه رژیم بارش سالانه و حاکمیت سامانه‌های همدید در باران‌زایی این ناحیه می‌باشد. این سامانه‌ها عمدتاً حاصل جریانات غربی است. از این رو مقدار بارش سالانه‌ی دریافتی در این بخش نسبت به بخش‌های دیگر بیشتر است (به شکل ۵ نگاه کنید).

دامنه‌ی همساز اول، توزیع مکانی بزرگی بیشینه بارش سالانه حاصل از سامانه‌های همدید را نشان می‌دهد و گویای اوج در منحنی فراوانی مشاهدات است. چنان‌که دیده می‌شود، دامنه از جنوب غرب به شمال شرق کاهشی است. بنابراین نواحی جنوب غربی علاوه بر سهم بیشتر از چرخه‌های سالانه، بیشینه بارش افزون‌تری را دریافت می‌دارند. همچنین در جنوب خط هم دامنه ۲۰ میلی‌متر (در جنوب غربی و نیز در بخش کوهستانی بزغوش) فشردگی خطوط به بالاترین حد خود می‌رسد. این مشخصه گویای شیب تغییرات بیشینه بارش و نیز نشانه‌ی فزونی فعل و انفعالات جوی در این ناحیه کوهستانی و تأثیر ارتفاع این پهنه بر بارش می‌باشد. بدین ترتیب شمال غرب بر اساس شاخص دامنه بارش به سه ناحیه، جنوب غرب بزغوش، ناحیه جلگه مغان و ناحیه مرکز قابل تقسیم است.



شکل ۶: توزیع مکانی مشخصات همساز اول (الف) و دوم (ب) بارش شمال غرب کشور  
ماخن: نگارندگان

زمان وقوع بیشینه بارش ( $t$ ) بر اساس شاخص‌های ارایه شده در جدول ۱ بیان می‌شود. هر چند طبق نظر تارونه و کادی اقلو (۲۰۰۳) مقادیر زمان ضرورتاً شاخص تغییرپذیری حقیقی از وقوع بیشینه نیستند، اما رویه‌ای مفید و غیرمستقیم برای بیان وضعیت نسبی است. مقادیر زمان بر روی نقشه از  $0/۶$  تا  $۰/۵۵$  در تغییر است. مقادیر منفی در بخش شمالی و مقادیر مثبت در نیمه‌ی جنوبی رخ می‌دهند. بنابراین بیشینه بارش‌های حاصل از همساز اول در نیمه

شمالی عمدتاً در اوایل دسامبر و در نیمه‌ی جنوبی عمدتاً در اواخر دسامبر (به جز جلگه مغان) و اوایل ژانویه رخ می‌دهد. یکی از دلایل کاهش بارندگی نیمه‌ی شمالی در اواخر دسامبر، نفوذ توده‌های هوای سرد از منطقه‌ی قفقاز است. این توده‌ی هوا گنجایش بخار آب کمتری دارد و باران کم تولید می‌کند (علیجانی، ۱۳۷۴: ۱۳۰). ناحیه‌ی جلگه مغان این بارش‌ها را در اواسط تا اواخر دسامبر و ناحیه‌ی جنوب غربی در اوایل ژانویه دریافت می‌دارد. این امر بیانگر این واقعیت است که یکی از فصول اصلی بارش شمال غرب، زمستان است.

#### - تغییرات بارش نیم سالانه

شکل ۶ ب درصد تغییرات ماه به ماه توضیح داده شده با همساز دوم را نشان می‌دهد. همان‌گونه که قبل‌آن نیز اشاره شد این همساز بیانگر تغییرات نیم سالانه (بارش‌های همرفتی، کوهستانی، جبهه‌های محلی و...) در فصول انتقالی (بهار و پاییز) است. از سمت شمال شرق به جنوب غرب تأثیرگذاری سامانه‌های غیر زمستانه (بهار- پاییز) و ناپایداری حاصل از آن کاهش می‌یابد. این ناپایداری نیاز به هوای گرم و مرطوب در سطح و هوای سرد در ارتفاع ۵۰۰ هکتوپاسکال دارد. اختلاف دمایی بین سطح زمین و جو بالا نقش به سزاوی در تشدید این سامانه‌های باران‌زاوی ایفا می‌کند. در فصل بهار، بر اثر گرمایش زیاد چاله‌هایی نظیر جلگه‌ی مغان و مجاورت آن با توده‌های کوهستانی مجاور، ایجاد بارش همرفتی را میسر می‌سازد. همچنین طبق نظر علیجانی (۱۳۷۴: ۱۳۴) فزوئی بارش بهاره منطقه‌ی شمال غرب به جهت فراهم شدن شرایط همرفت دامنه‌ای است که بر اثر تابش عمودی آفتاب بر دامنه‌ها و گرمتر شدن هوای منطقه نسبت به جو مجاور حاصل می‌شود. با این حال تحلیل همسازها نشان می‌دهد که بیشترین بارش‌های حاصل از همرفت عمدتاً در سرزمین‌های پست و نه در دامنه‌های کوهستانی رخ می‌دهد. کاویانی و علیجانی (۱۳۸۰: ۲۳۷) معتقدند رطوبت لازم برای بارش‌های بهاره نواحی کوهستانی شمال غرب ایران، از رطوبت مدیترانه که در فصل زمستان به وسیله‌ی بادهای غربی به این ناحیه آورده شده‌اند، تأمین می‌شود. منبع رطوبتی دریاچه ارومیه نیز امکان این بارش‌ها را مهیا می‌سازد. به هر حال همساز دوم به عنوان یک اختلال، امکان پیش‌بینی دقیق بارش را کمتر می‌کند. این همساز بین حدود ۱۰ تا ۷۰ درصد تغییرات ماه به ماه بارش منطقه را توضیح می‌دهد. مقدار پراش توضیح داده شده با این همساز از شمال شرق به سمت جنوب غرب کاهش می‌یابد. از این‌رو همارزش‌های پراش ارایه شده در نقشه ۶ ب همانند هم ارزش‌های پراش نقشه ۶ الف جهتی اریب (شمال غرب- جنوب شرقی) داشته، بعضاً هسته‌های بزرگ در میان پراش‌های کوچک قابل مشاهده هستند. این هسته‌ها و

نیز بیشینه پراش با نواحی پست شمال‌شرق- شمالی به ویژه جلگه مغان منطبق می‌باشدند. وضعیت توپوگرافیک این بخش امکان بهره‌گیری افزون‌تر از بارش‌های محلی را مهیا می‌سازد و بارش‌های حاصل از سامانه‌های بزرگ مقیاس امکان وقوع کمتری دارند. بدین دلیل این بخش بارش کمتری نسبت به بقیه نقاط دریافت می‌دارد (به شکل ۵ توجه کنید). دیده می‌شود که نواحی جنوب غربی- غربی از کمترین پراش همساز دوم برخوردارند.

دامنه‌ی همساز دوم در نواحی کوهستانی بزغوش- سهند بیشترین سهم را از دامنه‌ی بارش دارند. این بخش هر چند سهم کمتری از بارش‌های اوروگرافیک دارند اما عموماً مقدار بارش دریافتی این ناحیه بیش از دیگر نواحی است. چنان‌که دیده می‌شود زمان بیشینه بارش این همساز در جلگه مغان از سمت میانه ژانویه به میانه دسامبر تمایل دارد. در مرکز ناحیه مورد مطالعه مقادیر منفی گویای تمایل اوج این بارش به سمت اوایل دسامبر است درحالی‌که بیشینه بارش نواحی جنوبی میل زیادی به سمت ژانویه دارند. سهم همساز سوم در تولید بارش بسیار کم است. کوچک بودن سهم این همساز گویای این است که رژیم تابستانه با بارش قابل توجه کم‌اهمیت‌تر است. از این‌رو به منظور رعایت ایجاز این همساز و نقشه‌های مربوط ارایه نشده است. اما شایان ذکر است که این همساز در بخش شرقی (مجاور گیلان)، شمال و مرکز (سهند) کمی فزوئی دارد.

### نتیجه

اقليم‌شناسی بارش شمال غرب کشور بر اساس مطالعه‌ی پنهان‌ای ۲۶۰ ایستگاه و بر پایه‌ی تکنیک تحلیل همسازهای بارش مورد بررسی قرار گرفت. در این راستا تغییرپذیری ماه به ماه مشاهدات بارندگی از طریق تفکیک مؤلفه‌های متعدد (ناهیبسته) و به صورت همسازها تفسیر شد. به‌طوری‌که همسازها بیشترین پراش (تغییرات) را تفسیر کنند. همسازها تجزیه‌ی دامنه مقادیر را در امتداد محور زمان انجام می‌دهند. در عمل، همسازهای معبدودی برای تشریح تغییرپذیری و عوامل مؤثر در الگوهای مکانی کافی هستند. همسازهای دیگر کمینه تغییرپذیری را تشریح می‌کنند که از نظر اقلیم‌شناسی قابل اغماس‌اند. به طور عام همسازهای نخست بیانگر اشکال چرخش جوی بزرگ مقیاس و همسازهای دوم گویای سامانه‌های محلی‌اند. در این مطالعه ویژگی‌های اقلیم‌شناسی بارش شمال غرب کشور برحسب درصد پراش، دامنه، و زاویه فاز همسازهای اول و دوم و به‌شكل نقشه‌های همارزش ارایه شد. طبق یافته‌های این تحقیق معلوم شد که نواحی کم‌بارش در شمال شرقی مستقر شده‌اند. درحالی‌که به سمت جنوب غربی میزان بارش فزونی می‌یابد. میزان بارش این نواحی منعکس‌کننده ساز و

کارهای مولد بارندگی این بخش‌هاست. به طوری که نواحی پرباران منطبق بر مسیر اصلی سامانه‌های همدید است. در حالی که بارش نواحی کم باران عمدتاً از ساز و کارهای محلی نظری صعود همرفتی، کوهستانی و جبهه‌های محلی حاصل می‌شود. این نوع ساز و کارها دو اوج بارش (زمستانه و بهاره- پاییزه) دریافت می‌دارند. وجود چنین پراکندگی در بارش اگرچه به لحاظ تأمین منابع آب از اهمیت برخوردارند اما به لحاظ عدم مشارکت سامانه‌های بزرگ مقیاس و تأثیر شرایط محلی که خود مبتنی بر پیش‌نیازهای محیطی نظیر گرمایش سطحی و سرمایش جو فوکانی است، اولاً بر اساس قوانین احتمالاتی کمتر رخ داده و دیگر این که بارش حاصل از آنها در مقیاس زمان و مکان کم خواهد بود. لذا بارشی غیرقابل اعتماد و بعضاً غیرقابل پیش‌بینی تولید می‌کنند. با توجه به یافته‌های این تحقیق دو پهنه‌ی بارشی یکی با دو اوج و دیگری با یک اوج در شمال غرب ایران وجود دارد. با این وصف یک پهنه‌ی محدود و کوچک در ناحیه‌ی کوهستانی بزغوش، سه چرخه سالانه را تجربه می‌کند. با عنایت به مطالبی که در بالا نیز گفته شد، هر چه تعداد چرخه‌های بارش افزون‌تر باشد، ضریب اطمینان و میزان بارش کمتر و بارندگی نامنظم‌تر خواهد بود. بنابراین با استفاده از این تقسیم‌بندی می‌توان نوع و اولویت‌های برنامه‌ریزی منابع آب در ناحیه‌ی شمال غرب کشور را تعیین و تحديد نمود.

### منابع

- ۱- انصاری‌ بصیر، ارمغان (۱۳۸۶). ارزیابی رژیم بارش فصلی در ایران با استفاده از روش هارمونی، پایان‌نامه کارشناسی ارشد رشته هواشناسی کشاورزی. دانشکده کشاورزی دانشگاه شیراز.
- ۲- جهانبخش‌اصل، سعید و حسن ذوالفاری (۱۳۸۰). بررسی الگوهای سینوپتیک بارش‌های روزانه در غرب ایران، فصلنامه تحقیقات جغرافیایی. شماره ۶۴-۶۳.
- ۳- جهانبخش، سعید و معصومه عدالت‌دوست (۱۳۸۷). تأثیر فعالیت‌های خورشیدی بر تغییرات بارندگی‌های سالانه ایران، فصلنامه تحقیقات جغرافیایی، شماره ۸۸.
- ۴- حاتمی‌بزدی، ابوذر؛ علی‌اصغر تقوای‌ابرشمی و بیژن قهرمانی (۱۳۸۴). الگوی توزیع زمانی بارش استان خراسان بزرگ، مجله تحقیقات منابع آب ایران. شماره ۳.
- ۵- حیدری، حسن (۱۳۸۴). ناحیه‌بندی بارش در شمال‌غرب و غرب ایران بر مبنای تحلیل مؤلفه‌های اصلی مقادیر کواریانس، پژوهش‌های جغرافیایی. شماره ۵۲.
- ۶- خوش‌اخلاق، فرامرز؛ نذر قنبری و جعفر معصوم‌پور‌ساماکوش (۱۳۸۷). مطالعه اثرات نوسان اطلس شمالی بر رژیم بارش و دمای سواحل جنوبی دریای خزر، پژوهش‌های جغرافیای طبیعی. شماره ۶۵.
- ۷- ذوالفاری، حسن (۱۳۷۷). تحلیلی بر بارش‌های بهاری غرب ایران، مجله نیوار، شماره ۴۰.
- ۸- رحیمی‌بندرآبادی، سیما و بهرام ثقفیان (۱۳۸۶). برآورد توزیع مکانی بارندگی با کمک تئوری مجموعه‌های فازی، مجله تحقیقات منابع آب ایران. شماره ۸.
- ۹- رضئی، طیب و قاسم عزیزی (۱۳۸۶). گزارش فنی: منطقه‌بندی رژیم بارشی غرب ایران با استفاده از روش‌های تحلیل مؤلفه‌های اصلی و خوشبندی، تحقیقات منابع آب ایران. شماره ۸.
- ۱۰- رضئی، طیب و قاسم عزیزی (۱۳۸۷). بررسی توزیع مکانی بارندگی فصلی و سالانه در غرب ایران با استفاده از روش‌های تحلیل مؤلفه‌های اصلی و خوشبندی، پژوهش‌های جغرافیای طبیعی. شماره ۶۵.
- ۱۱- عساکره‌حسین (۱۳۸۴الف). تغییرات زمانی- مکانی بارش استان اصفهان طی دهه‌های اخیر، مجله پژوهشی دانشگاه اصفهان. جلد هیجدهم. شماره ۱. اصفهان.
- ۱۲- عساکره‌حسین (۱۳۸۴ب). تحلیل روند بارش سالانه استان اصفهان، مجله نیوار شماره ۵۶ و ۵۷ مشهد.
- ۱۳- عساکره‌حسین (۱۳۸۴ج). مدل‌سازی تغییرات مکانی عناصر اقلیمی مطالعه موردی: بارش سالانه استان اصفهان، فصلنامه تحقیقات جغرافیایی. شماره ۷۴.

- ۱۴- عساکرہ، حسین (۱۳۸۶). تغییرات زمانی- مکانی بارش ایران زمین طی دهه‌های اخیر، مجله جغرافیا و توسعه. سال پنجم. شماره ۱۰.
- ۱۵- عساکرہ حسین (۱۳۸۷). کاربرد روش کریجینگ در میان‌بایی بارش. مطالعه موردي: میان‌بایی بارش ایران زمین. مجله جغرافیا و توسعه. سال پنجم. شماره ۱۲.
- ۱۶- علیجانی، بهلول (۱۳۷۴). آب و هوای ایران، تهران. انتشارات پیام نور.
- ۱۷- غیور، حسنعلی و حسین عساکرہ (۱۳۸۴). کاربرد مدل‌های فوریه در برآورد دمای ماهانه و آینده‌نگری آن مطالعه موردي: دمای مشهد، فصلنامه تحقیقات جغرافیایی. شماره ۷۷.
- ۱۸- غیور، حسنعلی و ابوالفضل مسعودیان (۱۳۷۵). بررسی نظام تغییرات مجموع بارش سالانه در ایران زمین، مجله نیوارو. شماره ۲۹
- ۱۹- غیور، حسنعلی و ابوالفضل مسعودیان (۱۳۷۸). بررسی مکانی شاخص یکنواختی توزیع زمانی بارش در ایران زمین، فصلنامه تحقیقات جغرافیایی. شماره‌های ۵۴ و ۵۵.
- ۲۰- فلاح قهرودی، غلامعباس؛ محمد موسوی‌بایگی و مجید حبیبی‌نوخندان (۱۳۸۷). پیش‌بینی بارش فصلی بر اساس الگوهای سینوپتیکی با استفاده از سیستم‌های استباط فازی- عصبی تطبیقی (ANFIS). مجله پژوهش‌های جغرافیای طبیعی. شماره ۶۶.
- ۲۱- کاویانی، امیر و محمدرضا مشکانی (۱۳۸۶). پنهان‌بندی و تحلیل فضایی بارش اقلیمی ایران. مجله محیط‌شناسی. شماره ۴۳.
- ۲۲- کاویانی، محمدرضا (۱۳۷۲). تحلیلی آماری از رژیم بارندگی ایران، مجله رشد آموزش جغرافیا. شماره ۱۲.
- ۲۳- کاویانی، محمدرضا و بهلول علیجانی (۱۳۸۰). مبانی آب و هواشناسی، تهران. انتشارات سمت.
- ۲۴- کاویانی، محمدرضا؛ سیدابوالفضل مسعودیان و امیرحسین حلبیان (۱۳۸۷). بررسی تأثیر سامانه پرشمار آزور بر بارش ایران زمین، فصلنامه تحقیقات جغرافیایی. شماره ۸۸.
- ۲۵- لشکری، حسن (۱۳۷۵). الگوی سینوپتیکی بارش‌های شدید جنوب غرب ایران، پایان‌نامه دکتری. تهران. دانشگاه تربیت مدرس.
- ۲۶- مسعودیان، سیدابوالفضل و هوشمند عطایی (۱۳۸۴). شناسایی فصول بارشی ایران به روش تحلیل خوش‌های، مجله پژوهشی دانشگاه اصفهان. جلد هیجدهم. شماره ۱.
- ۲۷- مسعودیان، سیدابوالفضل (۱۳۸۸). نواحی بارشی ایران، جغرافیا و توسعه. شماره ۱۳.
- ۲۸- مفیدی، عباس (۱۳۸۱). بررسی سینوپتیکی نقش دریای سیاه در بارش ایران، پایان‌نامه کارشناسی ارشد، تهران. دانشگاه آزاد اسلامی. واحد مرکز.

- ۲۹- مفیدی، عباس (۱۳۸۳). اقلیم‌شناسی سینوپتیکی بارش‌های سیل‌زا با منشأ منطقه دریایی سرخ در خاورمیانه، فصلنامه تحقیقات جغرافیایی. شماره ۷۵
- ۳۰- نجارسلیقه، محمد (۱۳۸۵). مکانیزم‌های بارش در جنوب‌شرق کشور. پژوهش‌های جغرافیایی. شماره ۵۵

- 31- Ben-Gai.T, Bitan.A, Manes.A Alpert.P, and Rubin.s (1998). "Spatial and Temporal Changes in Rainfall Frequency Distribution Patterns in Israel" , Theoretical and Applied Climatology ,Vol 61.
- 32- Bloomfield, P (2000). Fourier analysis of time series : an introduction , second edition, New York, John Wiley& Sons ,Inc, 261p.
- 33- Chatfield,C (1975). The analysis of time series : theory and practice, chapman and Hill, London, 263pp.
- 34- Chen. L.X , Li.W.L, Zhu.W.Q. , Zhou. X. J. , Zhou.Z.J and Liu.H.L (2006). seasonal trends of climate cange in the Yangtze delta and its adjacent regions and their formation mechanisms. Meteorol Atmosphys 92, 11-23.
- 35- Crochet . Philippe , Johannesson, Tomas, Jonsson, Trausti, Singurdsson, Oddur, Bjornsson.Helgi, Palsson.Finnur and Barstad .Idar (2007). Estimating the Spatial distribution of precipitation in Iceland using Linear model of orographic precipitation . Journal of Hydrometeorology . Vol 8 : 1285-1306.
- 36- Gemmer. M , Becker. S and Jiang. T (2004). Observed Monthly precipitation trend in China 1951-2002. Theor.Appl.Climatol. 77: 39-45.
- 37- Hastenrath , S. L (1968) . Fourier analysis of Central America rainfall. Arch. Meteor. Geophys .Bioklim, B16, 81 -94.
- 38- Horn,L.H. and Bryson,R.A (1960). Harmonic analysis of the annual march of precipitation over the united state . Ann.Assoc.Am.Geogr.50,157-171.
- 39- Hsu, C.F. and Wallace. M. J (1976). The global distribution of the annual and semiannual cycle in precipitation . Mon Wea. Rev, 104, 1093-1101.
- 40- Kadioglu.Mikdat,Ozturk.Naim,Erdun Hakan and Sen.Zekai (1999). on the precipitation climatology of Turkey by harmonic analysis.Int.J.Climatol.19:1717-1728.
- 41- Kirkyla, Kristina.I and Hameed, Sultan (1989). Harmonic analysis of the seasonal cycle in precipitation over the united state: Acomparison between observations and a general circulation model. Journal of climate. 1463-1475.
- 42- Livada,I,Chralambous. G, Assimakopoulos.M.N (2008). Spatial and temporal study of precipitation characteristics over Greece. Theor.Appl.Climatol.93:45-55.
- 43- Niu. Ning and Li. Jianping (2008). Inter annual variability of Autumn precipitation over south China and its relation to atmospheric circulation and SST anomalies. Advances in Atmospheric Sciences. Vol.25 , No 1 .

- 44- Odekunle.T.O (2006). Determining rainy season onset and retreat over Nigeria from precipitation amount and number of rainy day. *Theor.Appl.Climatol.* 83,193-201.
- 45- Qian . W and Lin.Z, X (2005). Regional trends in recent precipitation indices in China. *Meteorol.Atmos Phys.* 90: 193-207.
- 46- Sen. Z and Habib.Z (2000). Spatial Analysis of monthly Precipitation in Turkey. *Ap:Clim.* 67,81-96.
- 47- Scott,C.M. and Shulman,M.D (1979). An areal and temporal analysis of precipitation in the united state , *J. Appl.Metor.* 18,627-633.
- 48- Shepherd .J. M (2006). Evidence of Urban – Induced precipitation variability in arid climate regimes. *Journal of Environments.* 67: 607-628.
- 49- Tabony , R.C (1981). A principal component and spectral analysis of European rain fall.. *J.Climatol.* 1,283-294.
- 50- Tarawneh.Q and Kadioglu, M (2003). An analysis of precipitation Climatology in Jordan. *Theor.Appl.Climatol.* 74,123-136.
- 51- Totic. I and Unkasevic.M (2005). Analysis of precipitation series for Belgrade. *Theor.Appl.Climatol.* 80: 67-77.
- 52- Ye.H and Cho.H.R (2001). Spatial and temporal characteristics of intraseasonal oscillation of precipitation over the United States. *Theor.Appl.Climatol.* 68, 51-66.
- 53- Wiener,N (1930). Generalized Harmonic Analysis, *Acta Math.*, Vol.55.
- 54- Wilks, Daniel.S (2006). Statistical Methods in the Atmospheric Science. Second Edition. Academic press. Elsevier Inc. U.S.A. 627.pp.